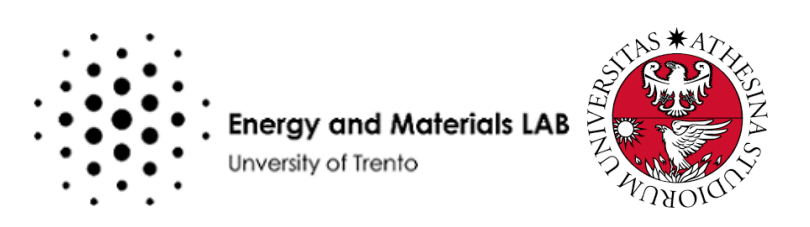


Centro Interdipartimentale Grandi Strumenti C I N Q U A N T A

Analisi diffrattometrica di macro e microstrain

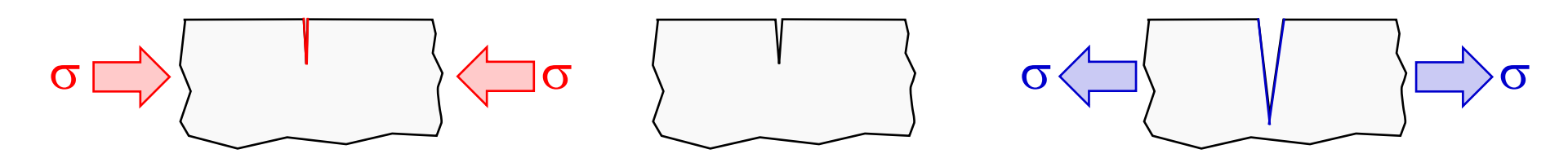
Paolo Scardi Università degli Studi di Trento



ANALISI DIFFRATTOMETRICA DI MACRO E MICROSTRAIN



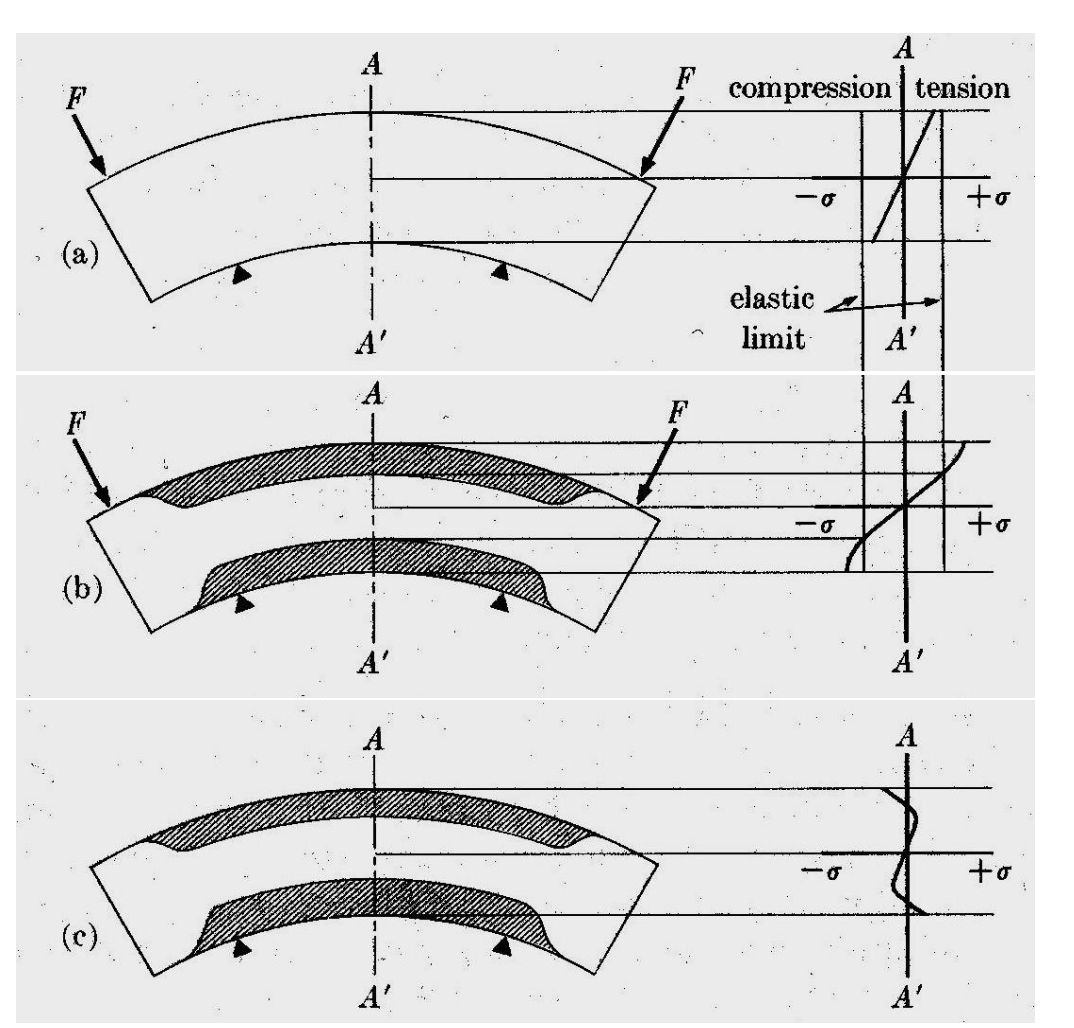
MACROSTRAIN E TENSIONI RESIDUE



ORIGINE DELLE AUTOTENSIONI RESIDUE: UN ESEMPIO*



Possono originare da una prova di flessione, a causa della ripartizione non uniforme della deformazione plastica



(a) Carico entro limite elastico:

Deformazione reversibile

(b) Carico oltre limite elastico Le regioni esterne si deformano plasticamente

(c) Scarico

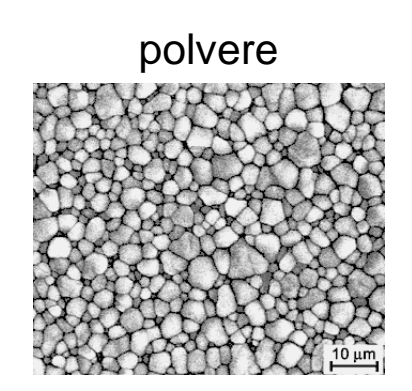
Deformazione parzialmente reversibile: si instaura un campo di sforzi residui

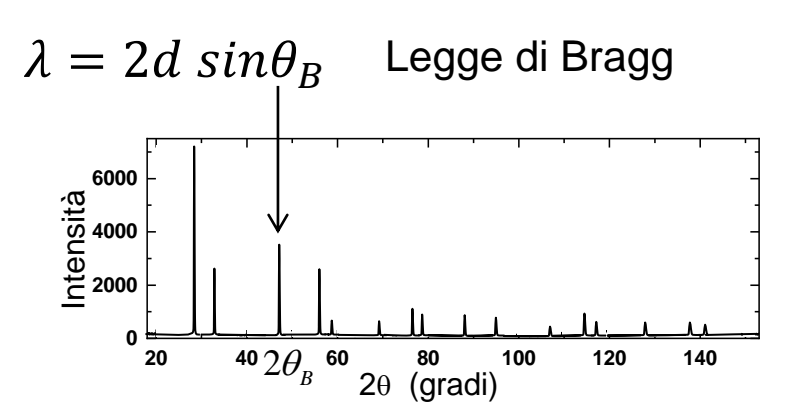
^{*} B.D. Cullity "Elements of X-ray diffraction" II Edition. Addison-Wesley, Reading, 1978

DIFFRAZIONE DA POLVERI E POLICRISTALLINI



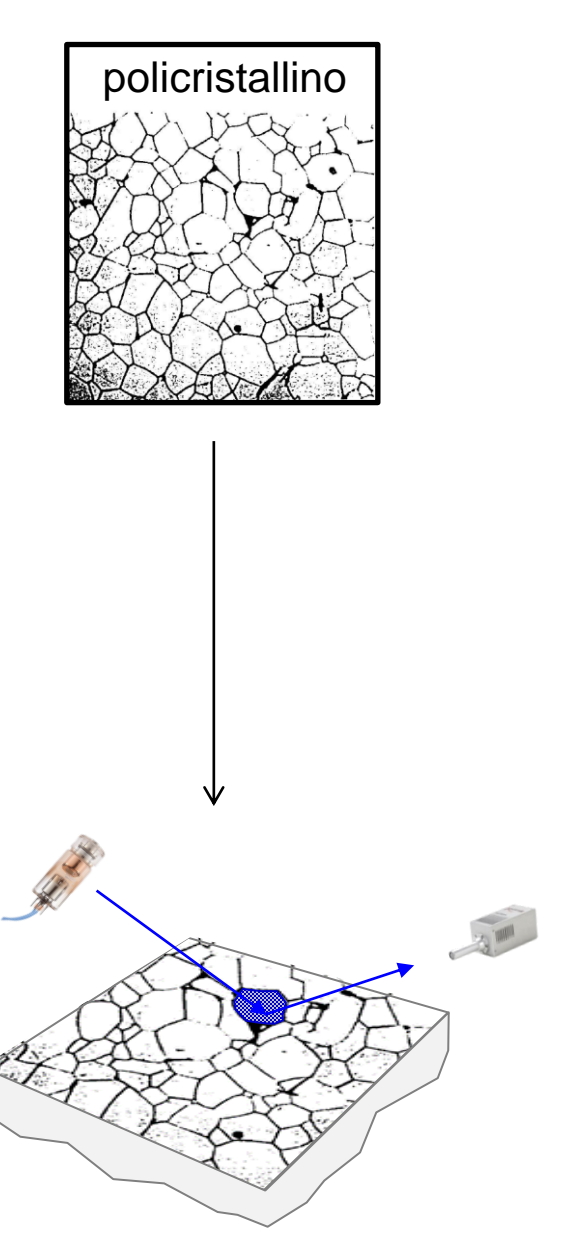


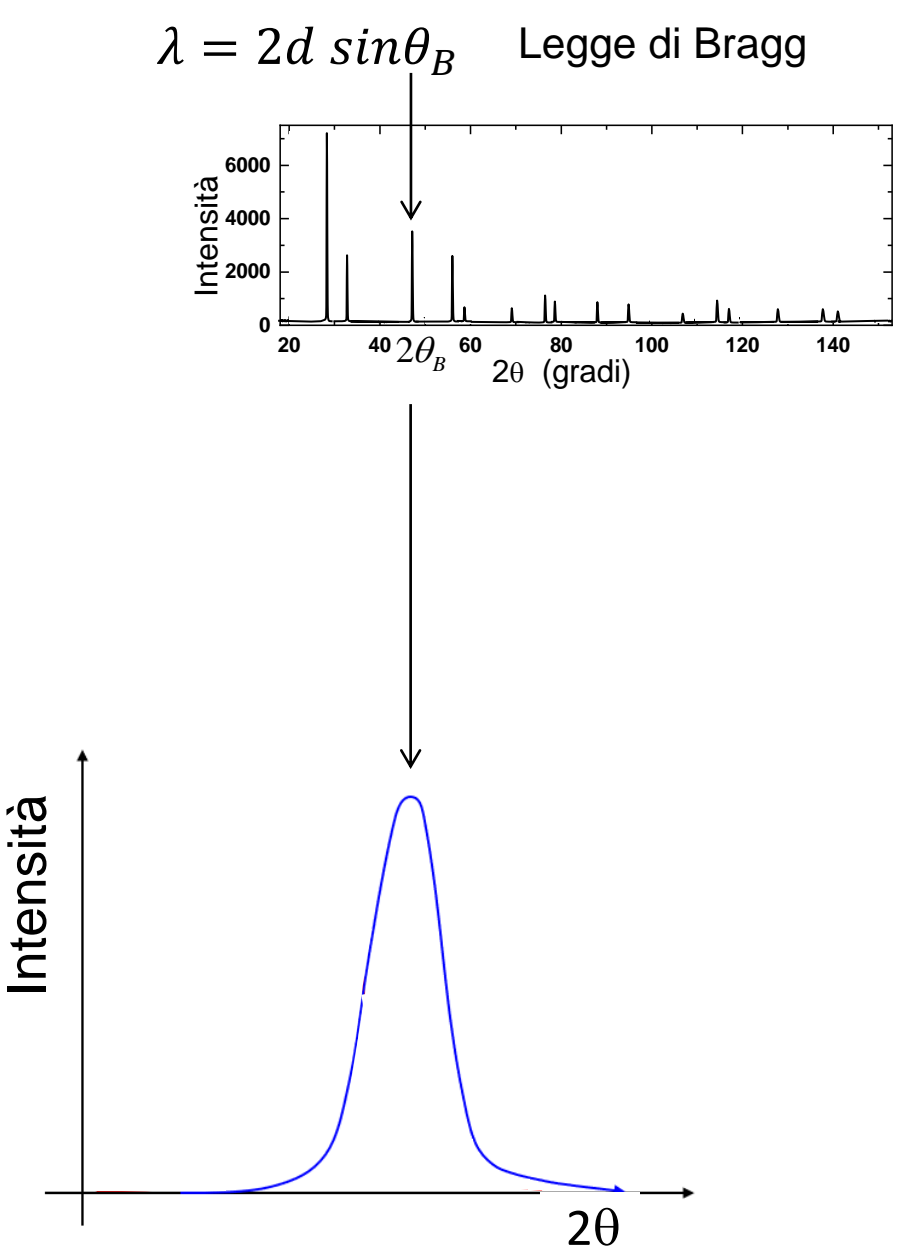




DIFFRAZIONE DA POLVERI E POLICRISTALLINI







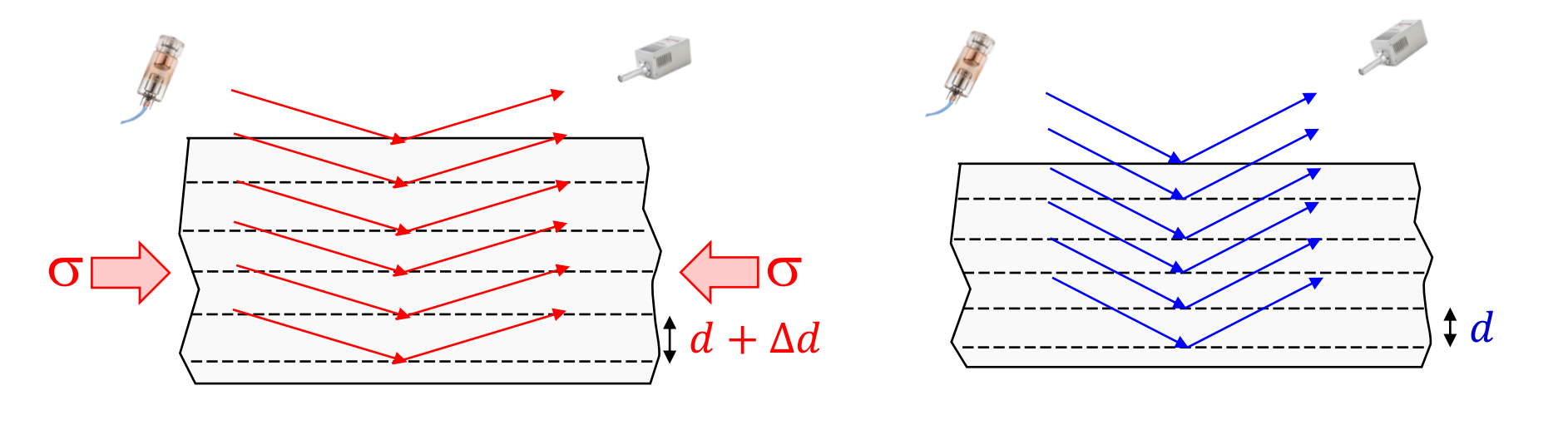
P. Scardi – Università di Trento

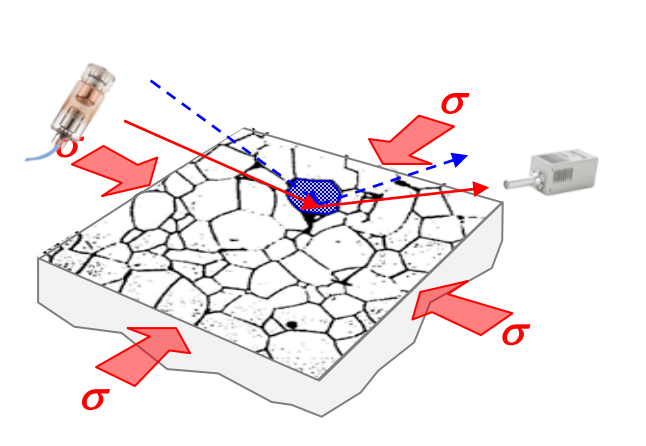
MACROSTRAIN → SPOSTAMENTO DEL PICCO

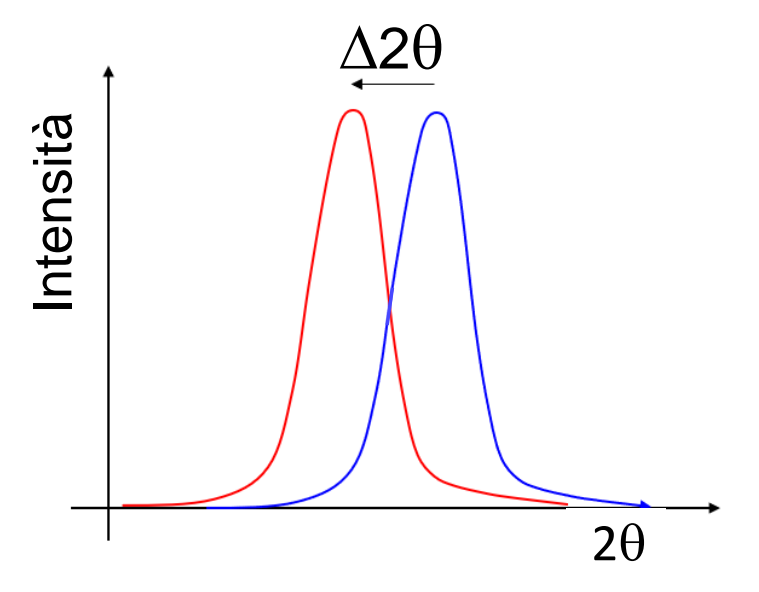


 $d \uparrow \theta \downarrow$

 $\lambda = 2 d \sin \theta_B$ Legge di Bragg



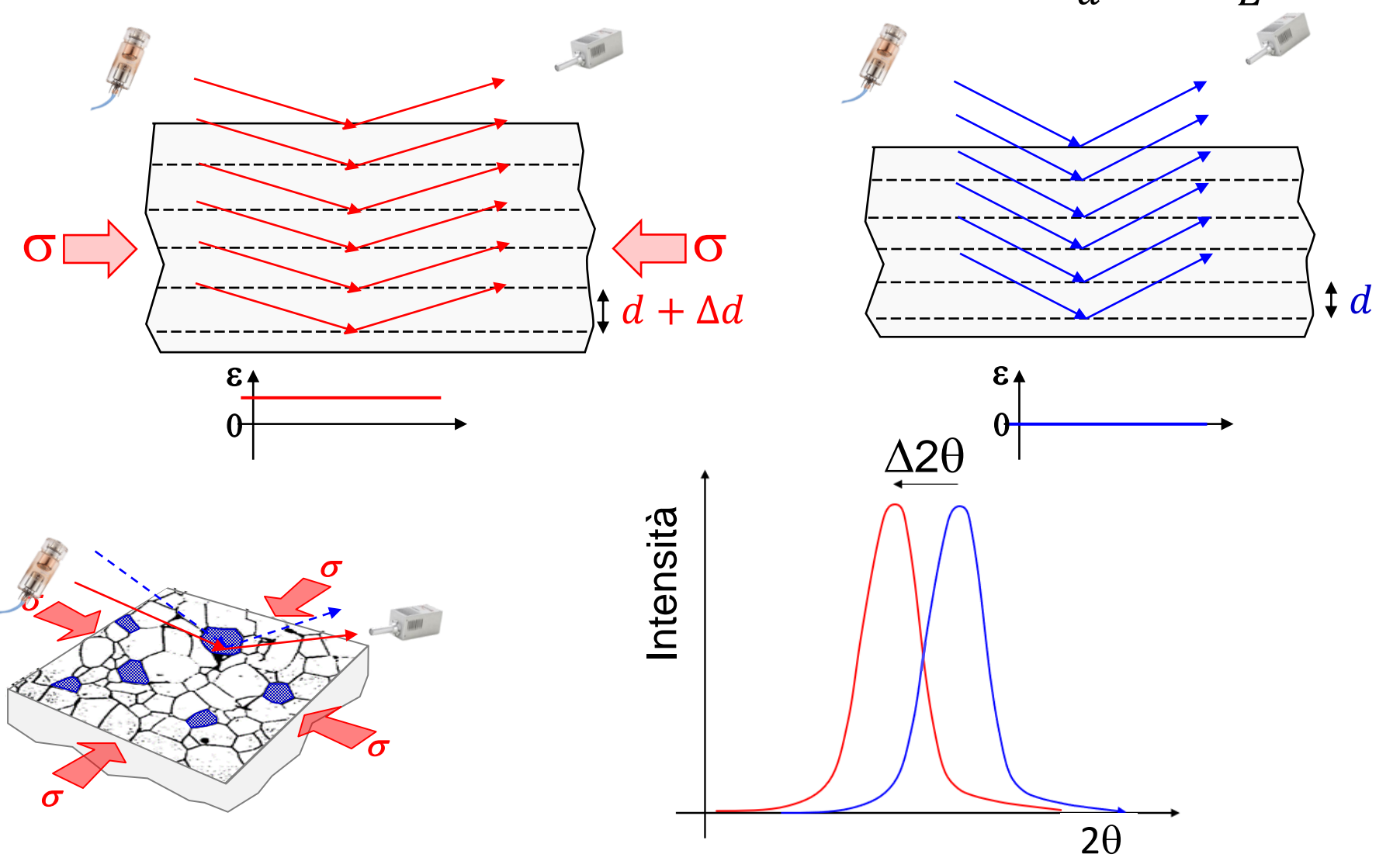




MACROSTRAIN → SPOSTAMENTO DEL PICCO

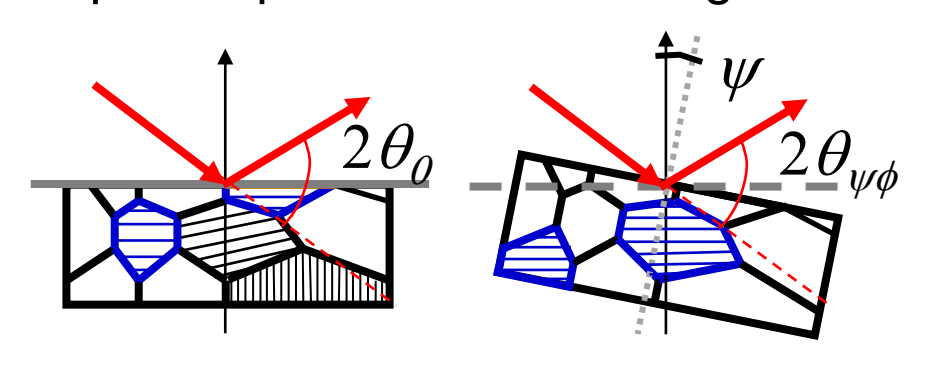


Grani cristallini come "strain gauge". Lo strain è ottenuto dallo spostamento $\Delta(2\theta) \rightarrow \Delta d \rightarrow \varepsilon = \frac{\Delta d}{d} = -\frac{2\nu}{E}\sigma$





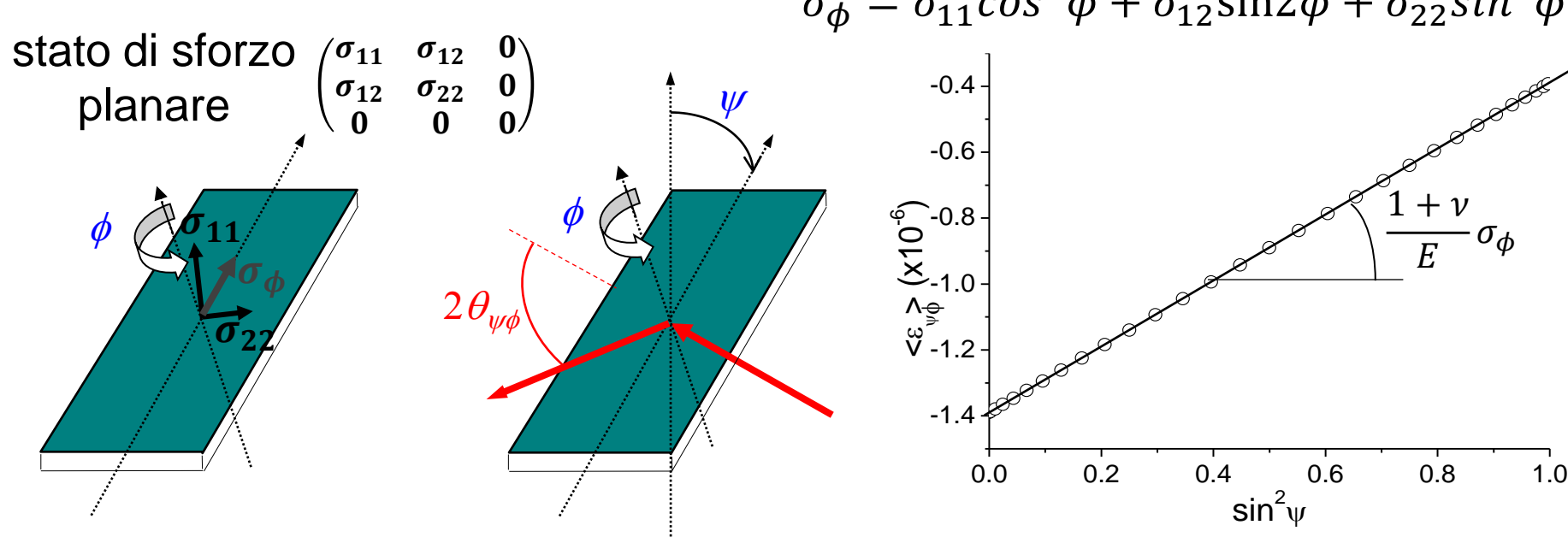
 $\varepsilon_{\psi\phi}$ è misurato per diverse inclinazioni (ψ -tilting) e rotazioni (ϕ) per le quali sono coinvolti grani diversi



$$2\underline{\theta_{\psi\phi}} \quad d_{\psi\phi} = 2\sin\theta_{\psi\phi}/\lambda \quad \rightarrow \quad \varepsilon_{\psi\phi} = \frac{d_{\psi\phi} - d_0}{d_0}$$

$$\varepsilon_{\psi\phi} = \frac{1+\nu}{E} \sigma_{\phi} sin^2 \psi - \frac{\nu}{E} (\sigma_{11} + \sigma_{22})$$

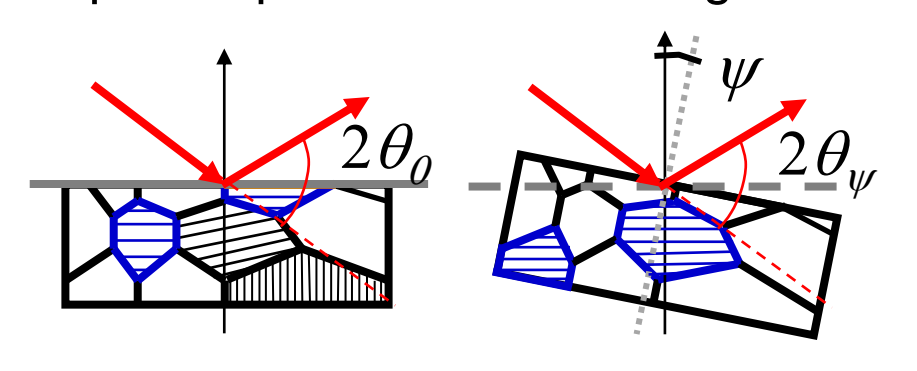
$$\sigma_{\phi} = \sigma_{11}\cos^2\phi + \sigma_{12}\sin^2\phi + \sigma_{22}\sin^2\phi$$



P. Scardi - Università di Trento

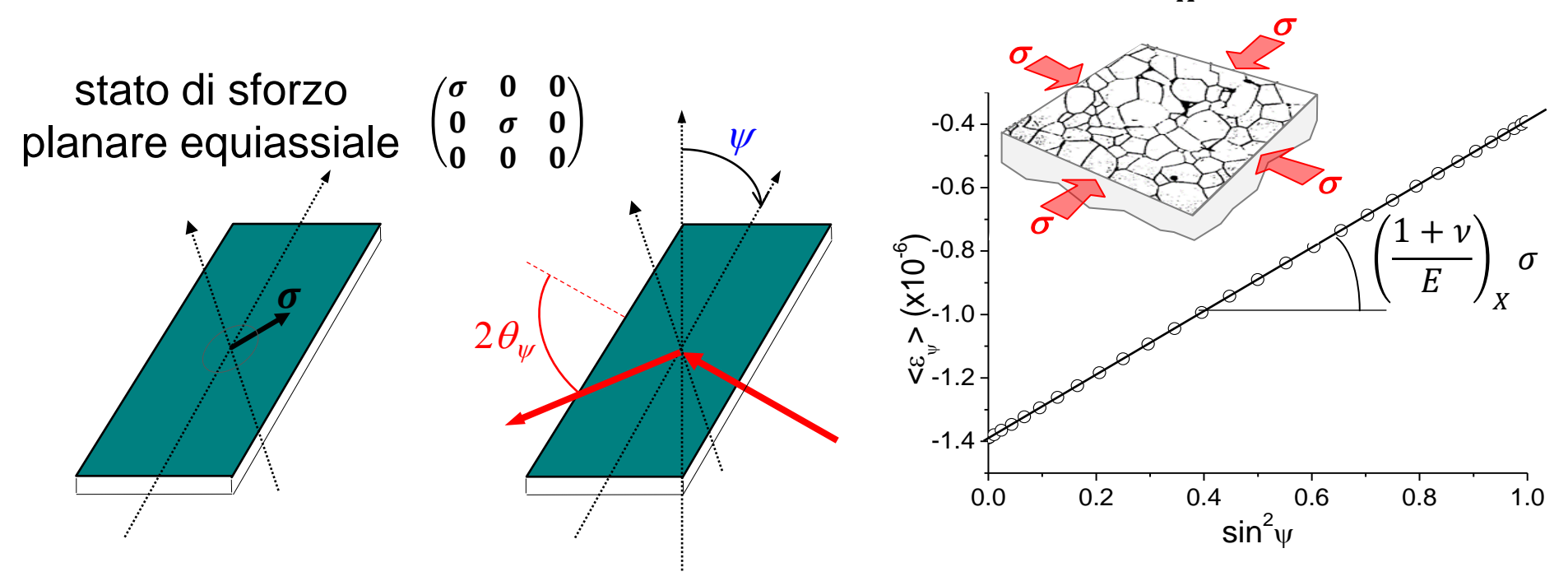


 ε_{ψ} è misurato per diverse inclinazioni (ψ -tilting) per le quali sono coinvolti grani diversi



$$d_{\psi} = 2\sin\theta_{\psi}/\lambda \quad \rightarrow \quad \varepsilon_{\psi} = \frac{d_{\psi} - d_0}{d_0}$$

$$\varepsilon_{\psi} = \sigma \left(\frac{1+\nu}{E}\right)_{X} \sin^{2}\psi - 2\sigma \left(\frac{\nu}{E}\right)_{X}$$



P. Scardi – Università di Trento



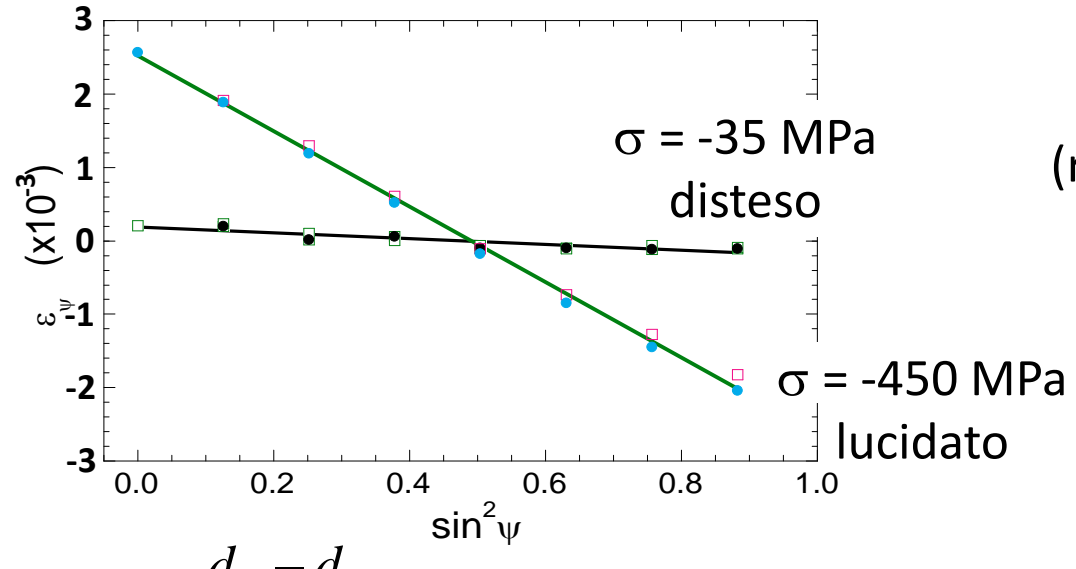
Effetto di lappatura/lucidatura di componenti meccanici in lega di Ti (Ti-6Al-4V)











misura attraverso lo spessore (residual stress profile)



Norma SAE J784a

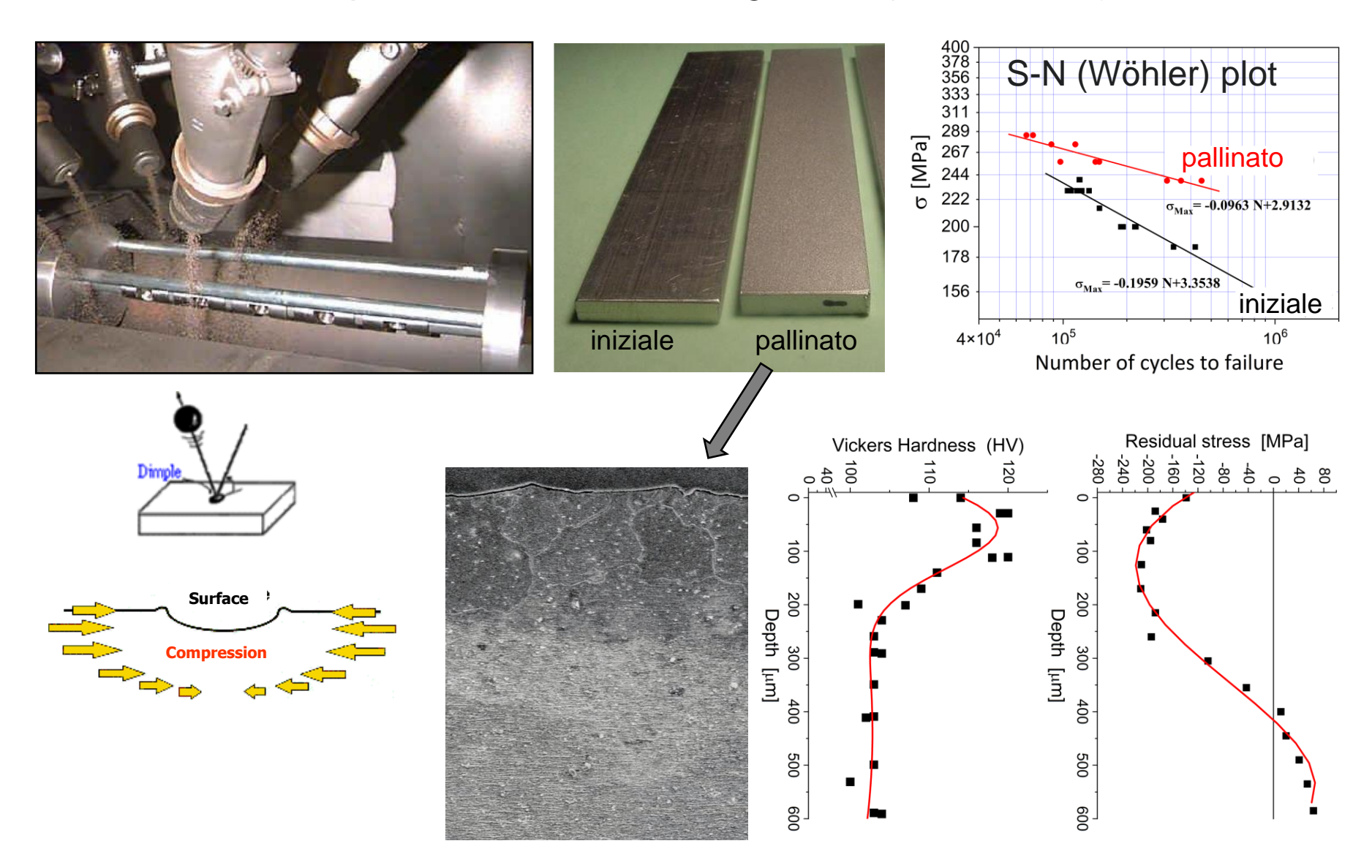




Surf. Eng., 14 [6] 513-518 (1998)

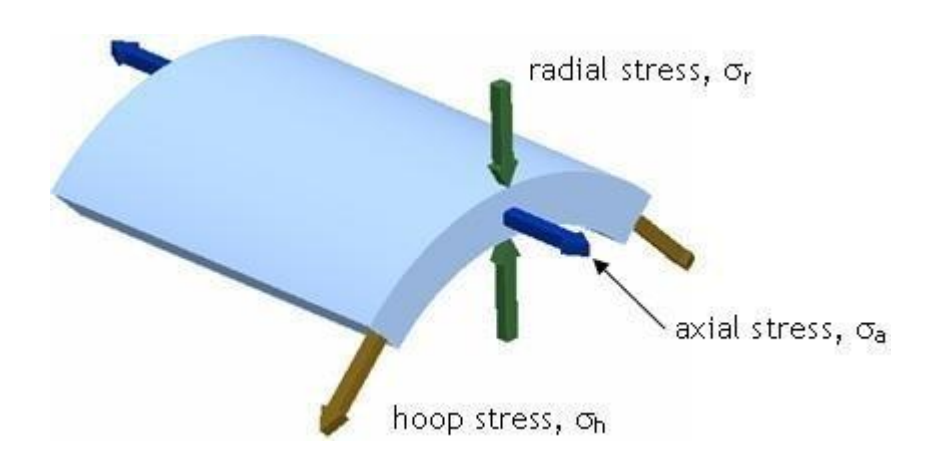


Pallinatura di componenti meccanici in lega di Al (AA 6082 T5)





misura dello "hoop stress" in tubi d'acciaio

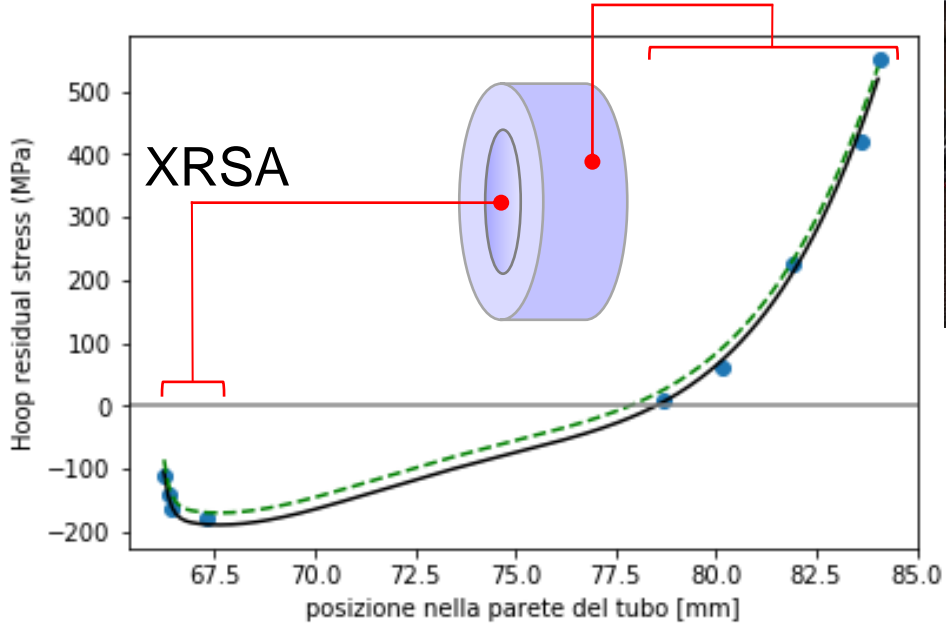




BHD



X-ray Residual Stress Analysis



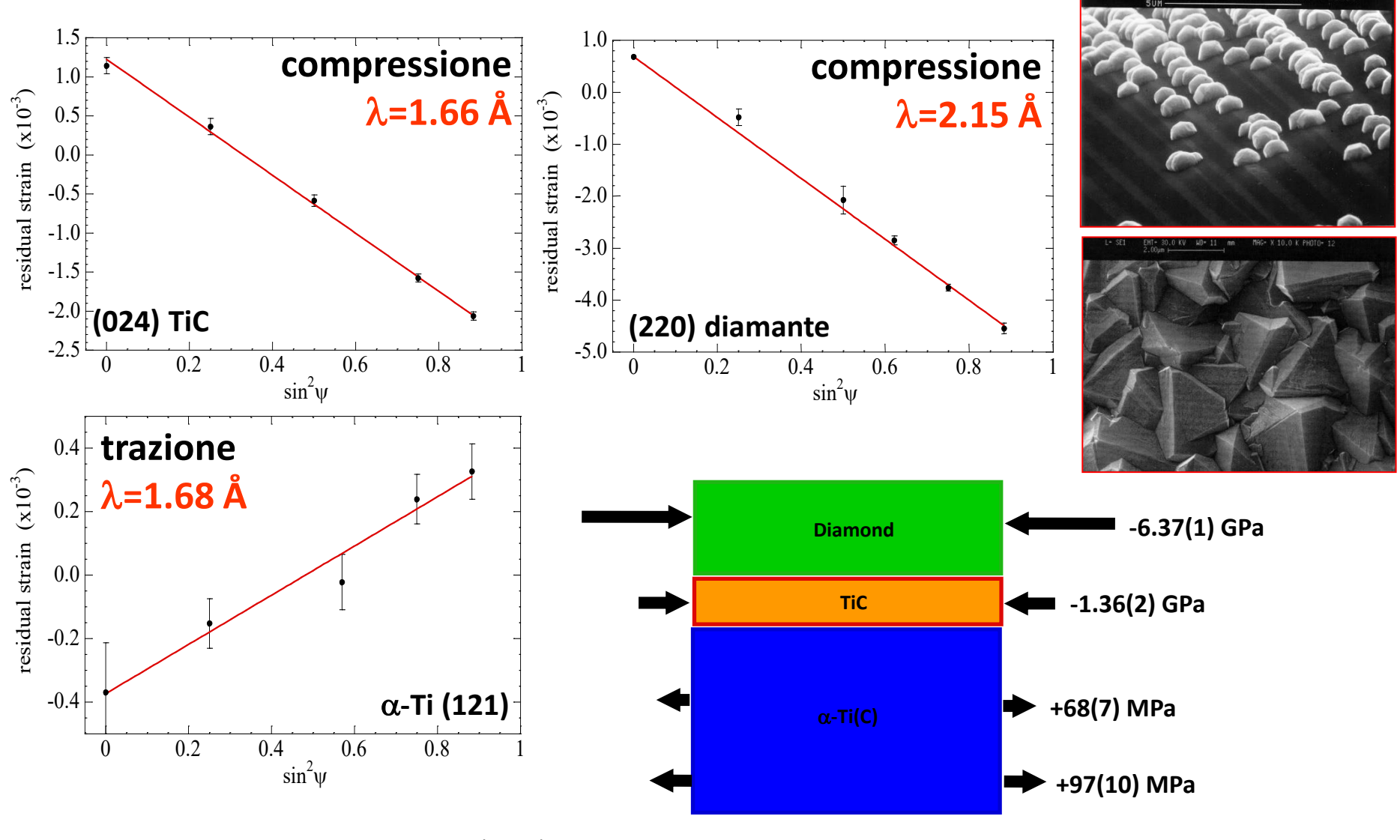
Blind Hole Drilling

Mater. Perform. Charact., 7 [4] 536-44 (2018)

P. Scardi – Università di Trento



sforzo residuo in utensili di titanio diamantati: XRSA in luce di sincrotrone (SRXRD)



Diam. Relat. Mater., 6 807-811 (1997)

P. Scardi - Università di Trento

ANALISI DIFFRATTOMETRICA DI MACRO E MICROSTRAIN



MICROSTRAIN

EFFETTO DELLO STRAIN SULLA DIFFRAZIONE



$$\lambda = 2d \sin \theta$$

$$\Delta \lambda = 0 = 2\Delta d \sin \theta + 2d \cos \theta \, \Delta \theta$$

$$0 = 2\Delta d \sin \theta + d \cos \theta \Delta 2\theta$$

introducendo lo strain,
$$\varepsilon = \frac{\Delta d}{d}$$

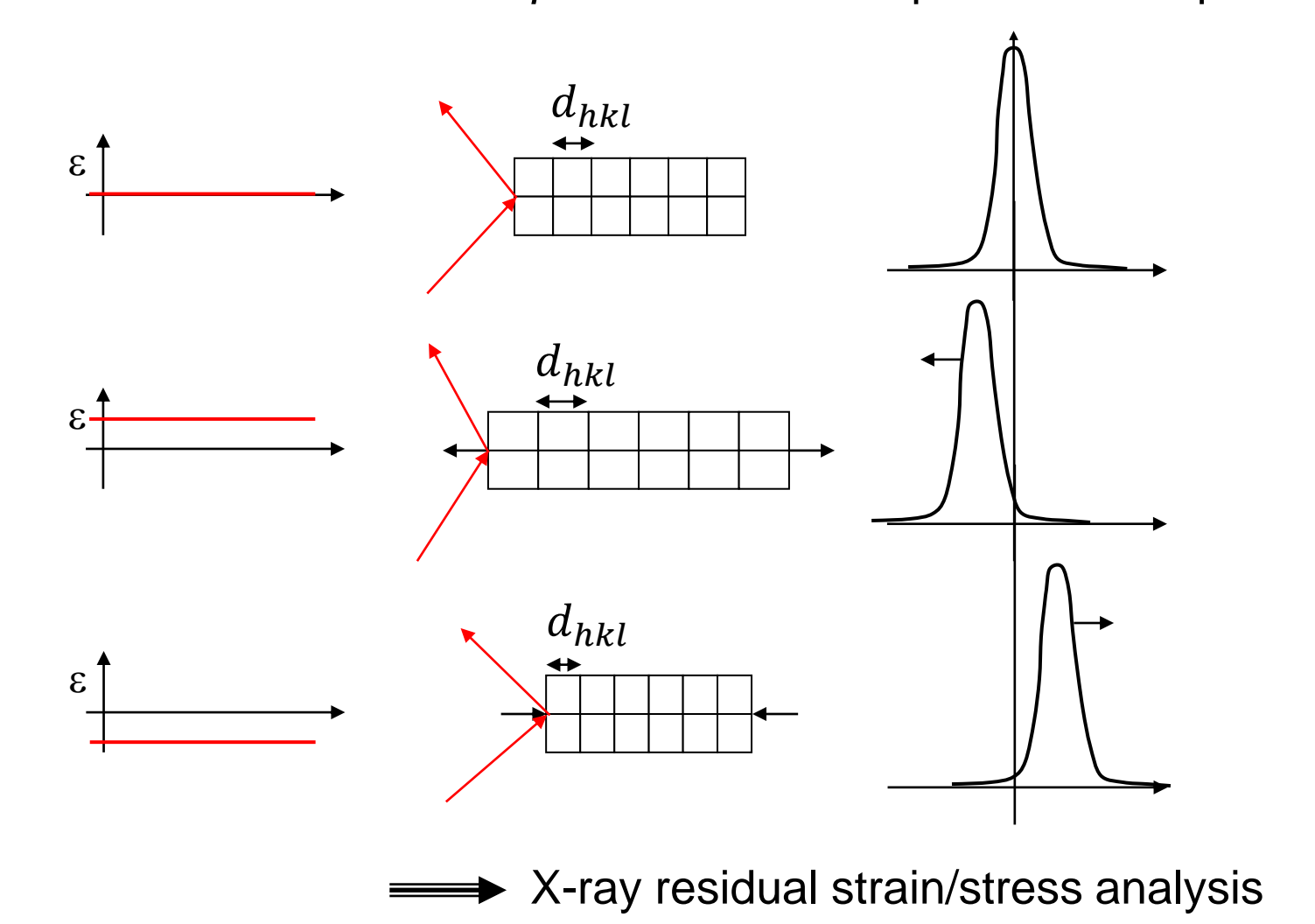
$$\Delta 2\theta = -2\tan\theta \frac{\Delta d}{d} = -2\varepsilon \tan\theta$$

EFFETTO DELLO STRAIN SULLA DIFFRAZIONE



$$\Delta 2\theta = -2\varepsilon \tan \theta_B$$

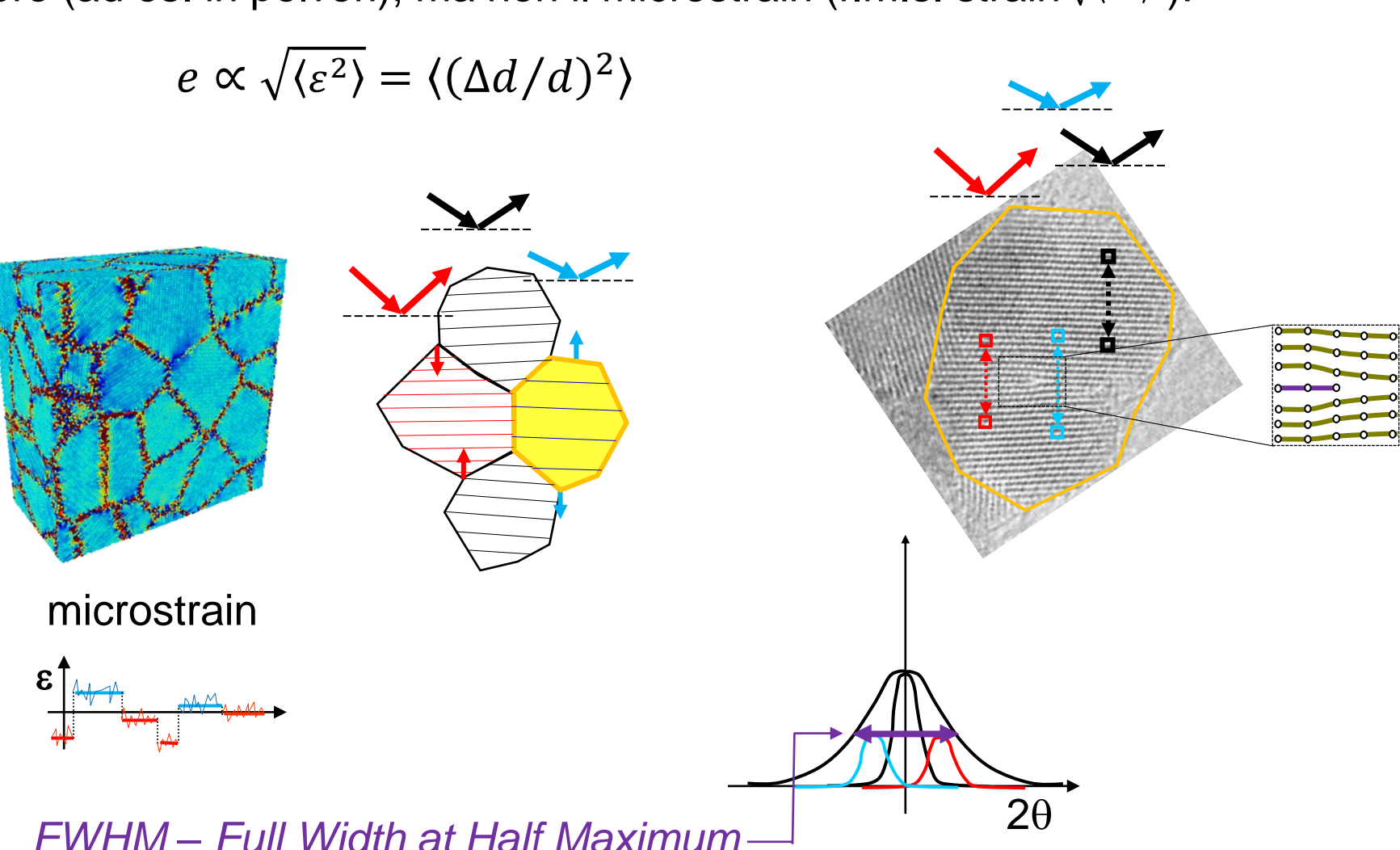
Uno strain uniforme causa uno spostamento della posizione del picco



EFFETTO DEL MICROSTRAIN SULLA DIFFRAZIONE



strain non uniforme \rightarrow distribuzione di strain, $p(\varepsilon)$. La media può essere zero (ad es. in polveri), ma non il microstrain (r.m.s. strain $\sqrt{\langle \varepsilon^2 \rangle}$):

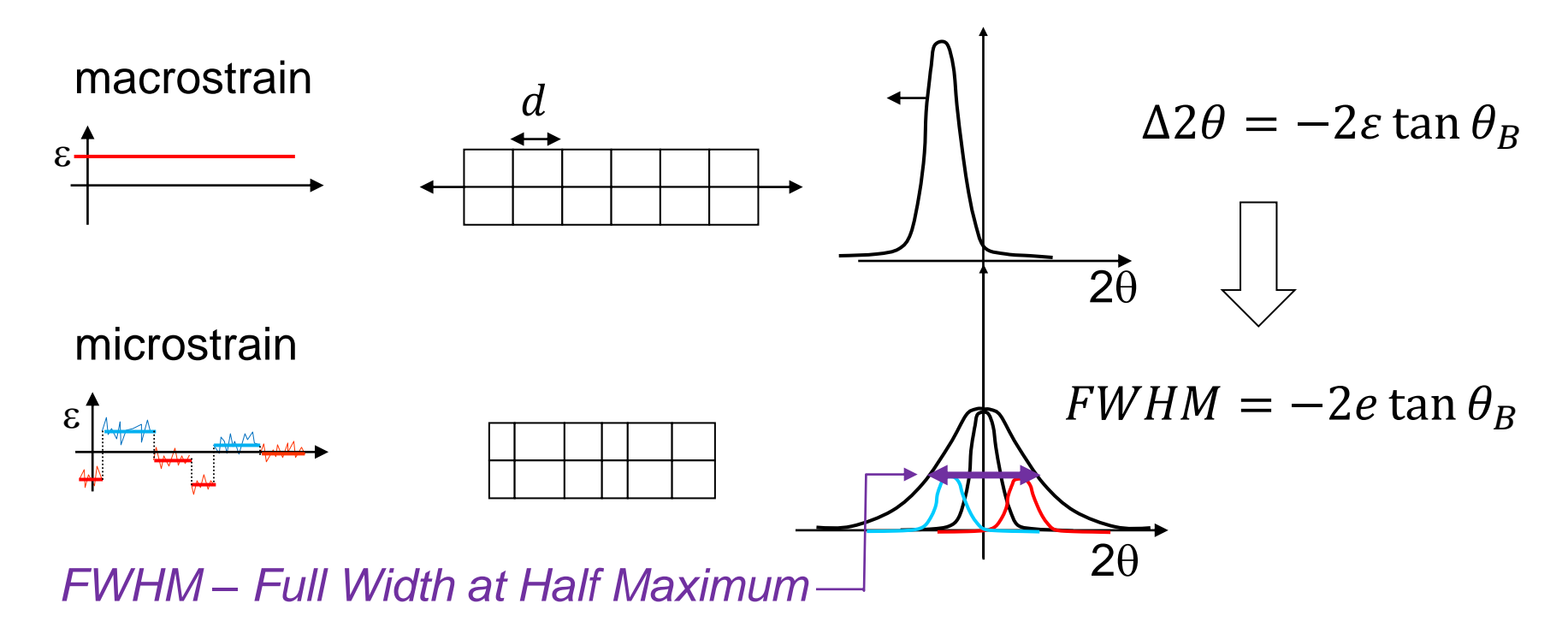


EFFETTO DEL MICROSTRAIN SULLA DIFFRAZIONE



strain non uniforme \rightarrow distribuzione di strain, $p(\varepsilon)$. La media può essere zero (ad es. in polveri), ma non il microstrain (r.m.s. strain $\sqrt{\langle \varepsilon^2 \rangle}$):

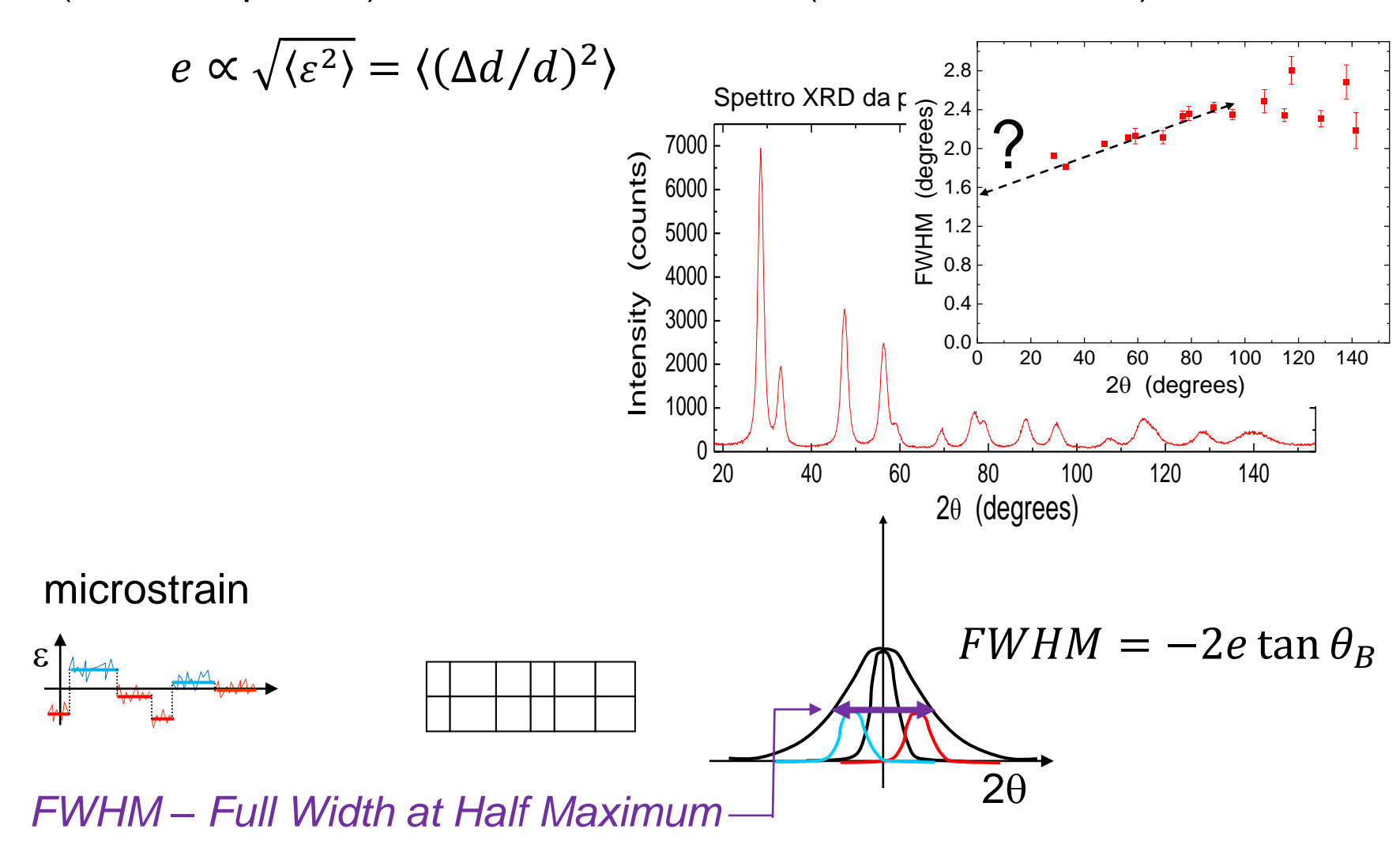
$$e \propto \sqrt{\langle \varepsilon^2 \rangle} = \langle (\Delta d/d)^2 \rangle$$



EFFETTO DEL MICROSTRAIN SULLA DIFFRAZIONE



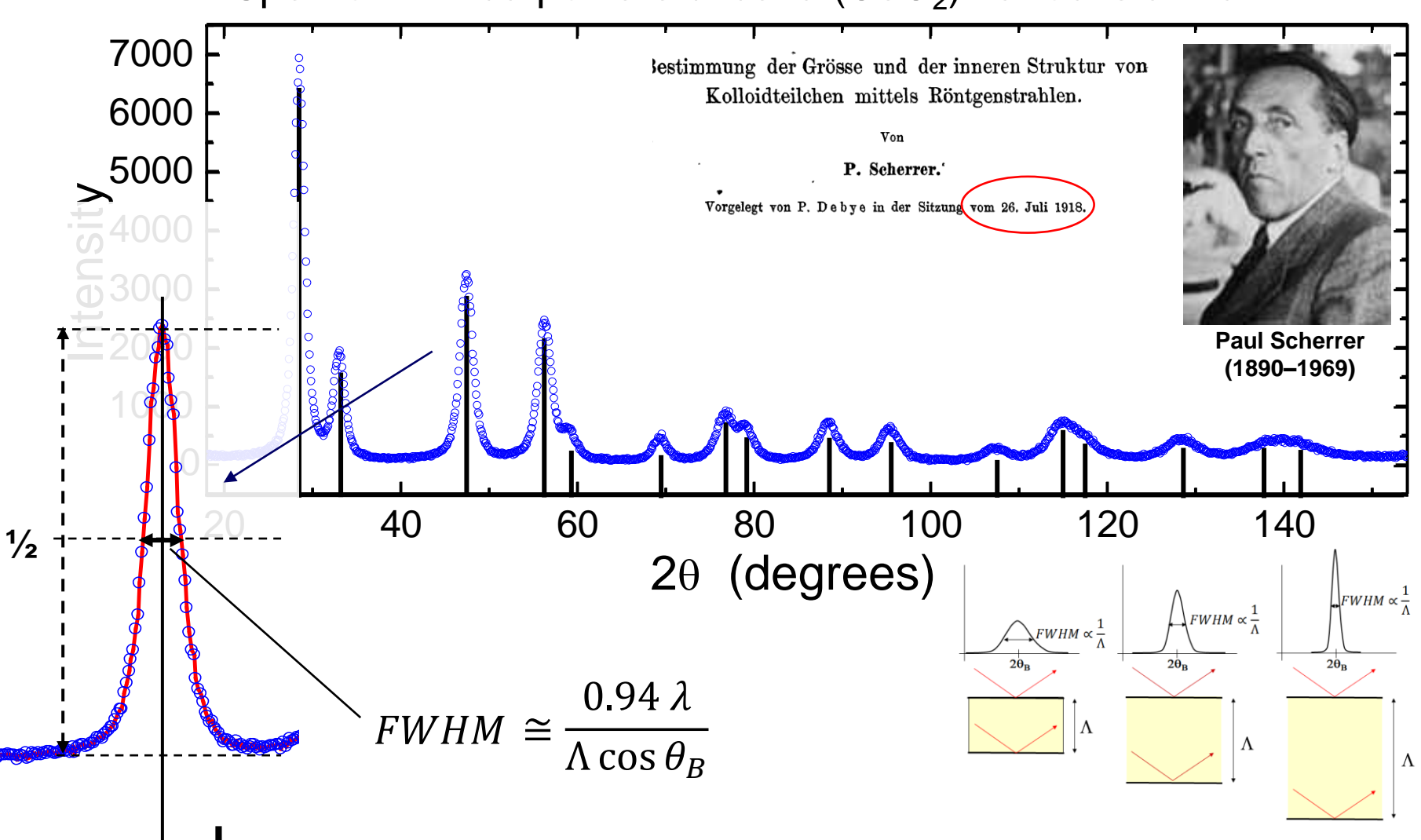
strain non uniforme \rightarrow distribuzione di strain, $p(\varepsilon)$. La media può essere zero (ad es. in polveri), ma non il microstrain (r.m.s. strain $\sqrt{\langle \varepsilon^2 \rangle}$):



DIFFRAZIONE DA NANOCRISTALLI: FORMULA DI SCHERRER



Spettro XRD da polvere di ceria (CeO₂) nanocristallina



 Λ : dimensione efficace del dominio cristallino (cristallite)

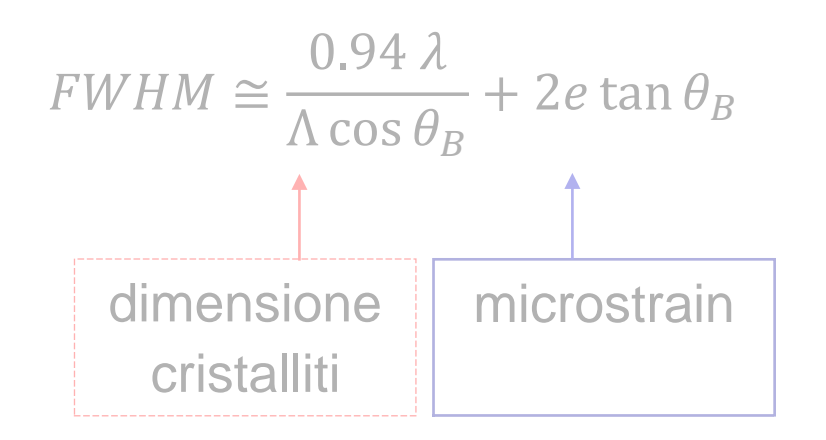
 λ : lunghezza d'onda dei raggi X

 $2\theta_{B}$

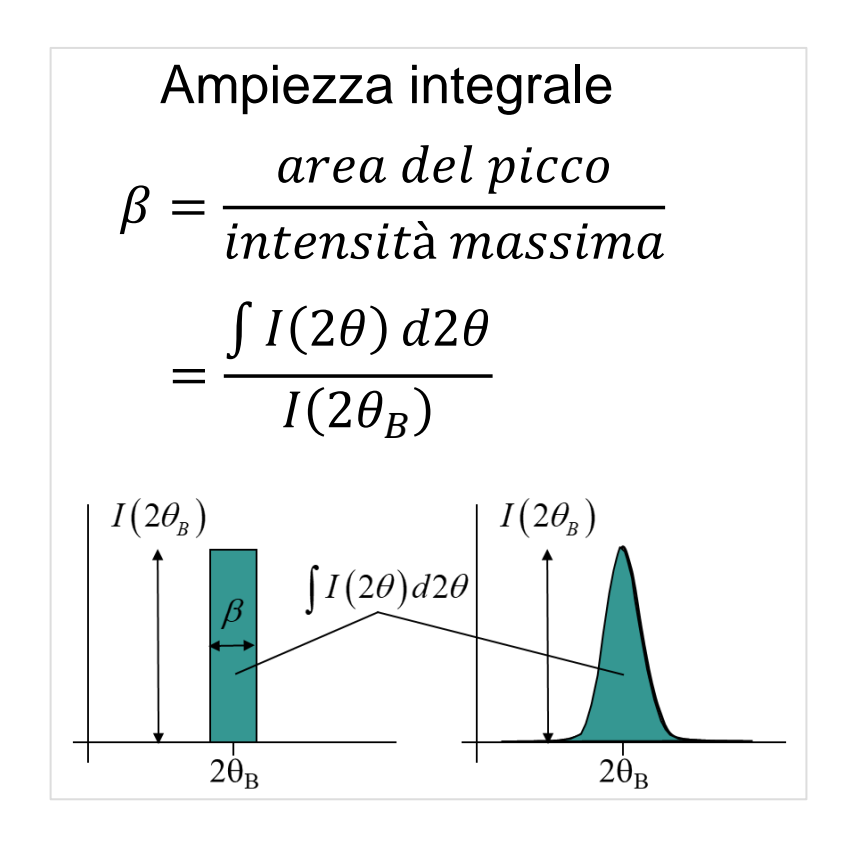
EFFETTO "SIZE – MICROSTRAIN" IN DIFFRAZIONE



Effetto combinato di dimensione (*size*) dei cristalliti e *microstrain*: una semplice approssimazione lineare



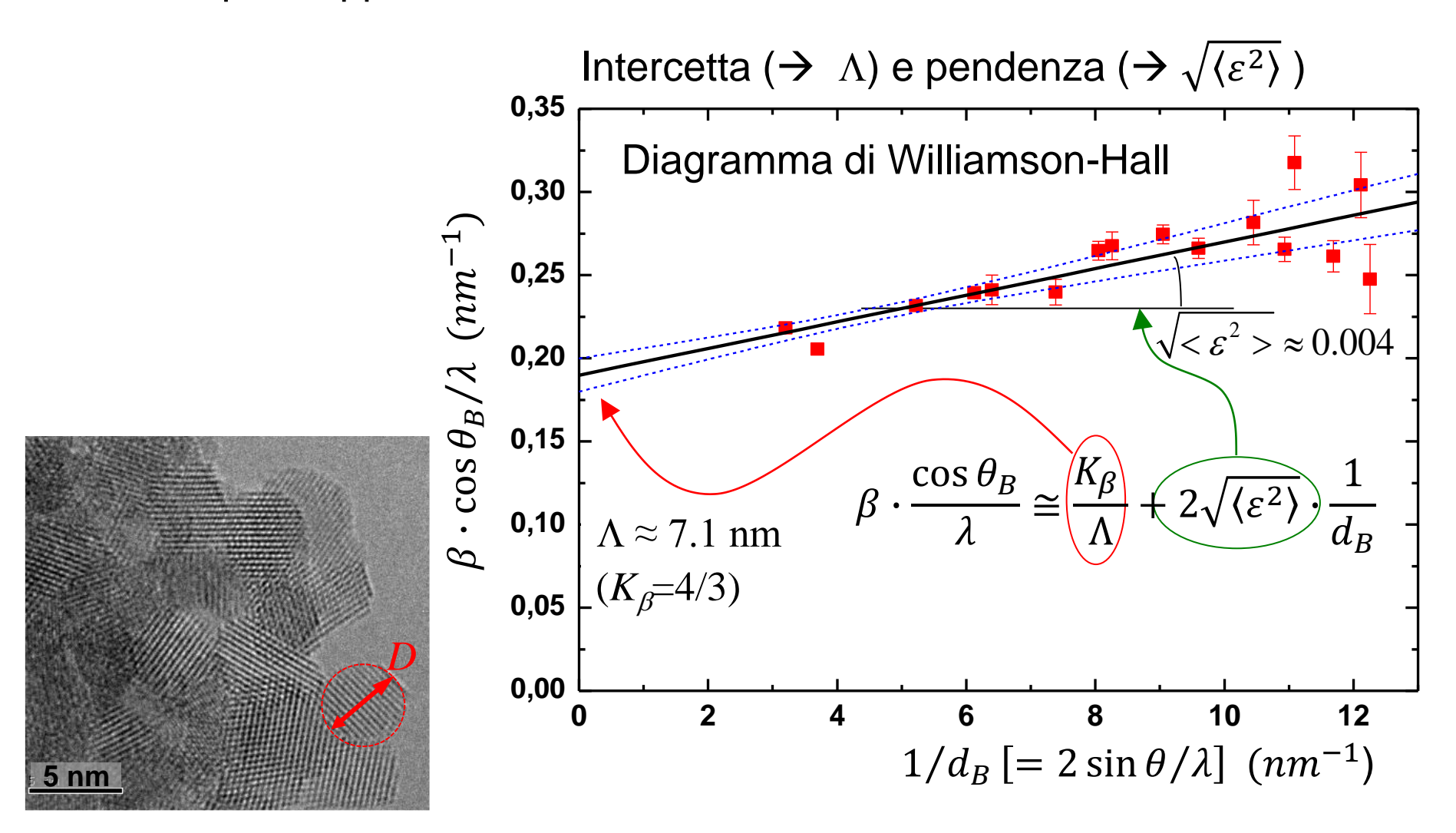
$$\beta \cdot \frac{\cos \theta_B}{\lambda} \cong \frac{K_\beta}{\Lambda} + 2\sqrt{\langle \varepsilon^2 \rangle} \cdot \frac{1}{d_B}$$
 dimensione cristalliti microstrain



EFFETTO "SIZE – MICROSTRAIN" IN DIFFRAZIONE



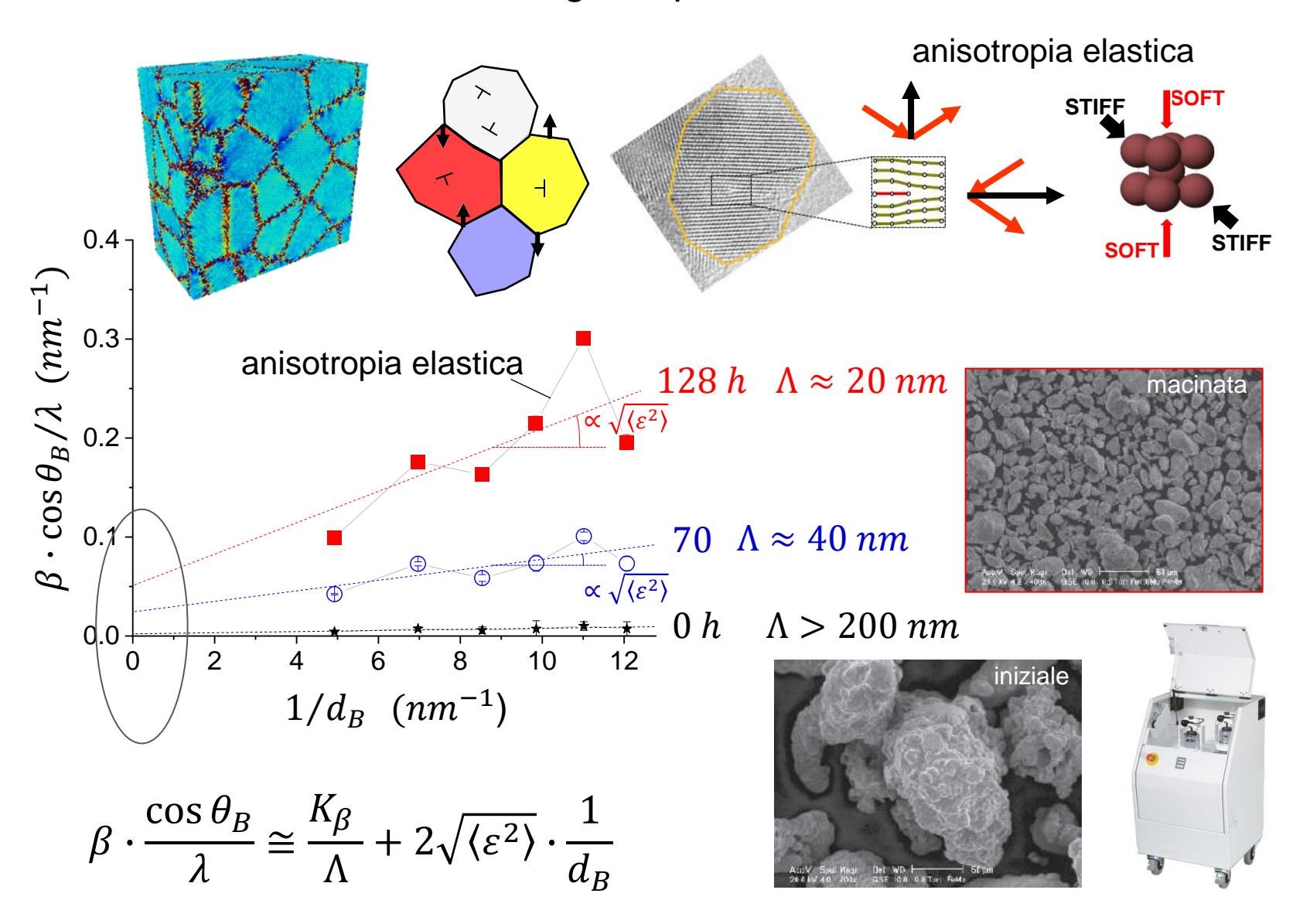
Effetto combinato di dimensione (*size*) dei cristalliti e *microstrain*: una semplice approssimazione lineare



EFFETTO "SIZE – MICROSTRAIN" IN DIFFRAZIONE



Macinazione ad alta energia di polvere di acciaio ferritico



P. Scardi – Università di Trento

Paolo.Scardi@unitn.it



CONCLUSIONI

Macrostrain → spostamento dei picchi

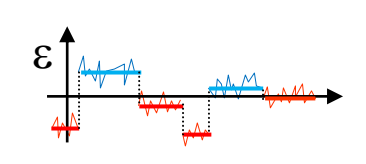
Microstrain → allargamento dei picchi

macrostrain

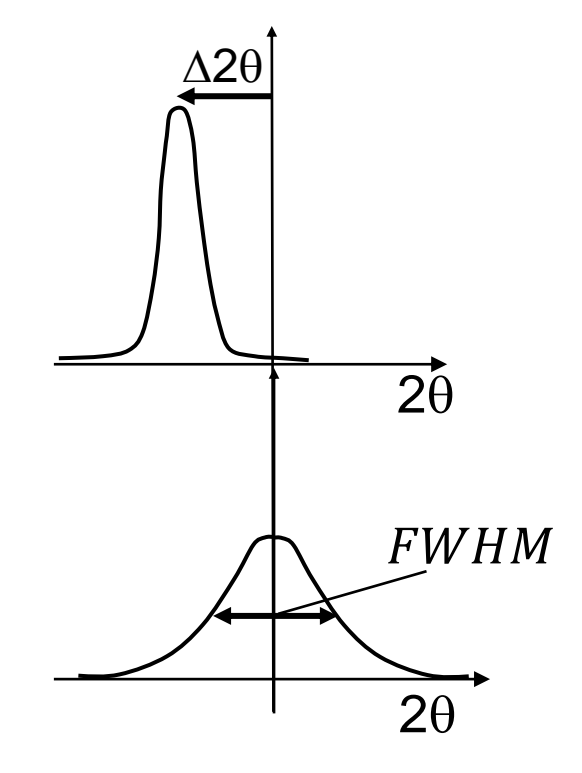


$$\Delta 2\theta = -2\varepsilon \tan \theta_B$$

microstrain



$$FWHM \cong \frac{0.94 \,\lambda}{\Lambda \cos \theta_B} + 2e \tan \theta_B$$



Paolo.Scardi@unitn.it

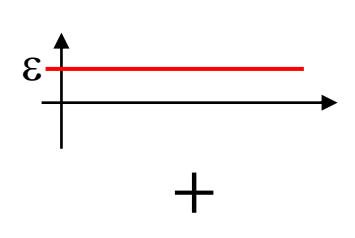


CONCLUSIONI

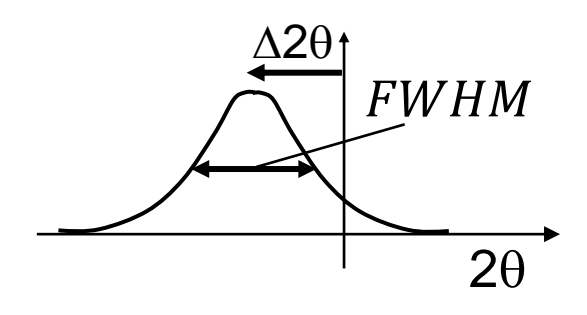
Macrostrain → spostamento dei picchi

Microstrain → allargamento dei picchi

macrostrain



$$\Delta 2\theta = -2\varepsilon \tan \theta_B$$



microstrain

$$FWHM \cong \frac{0.94 \,\lambda}{\Lambda \cos \theta_B} + 2e \tan \theta_B$$